

doi: 10.13241/j.cnki.pmb.2018.24.006

激活 FXR 抑制结肠癌细胞浸润转移及 MMP-7 的表达 *

张超峰¹ 罗天航¹ 钮宏文² 邓琳² 祝涛² 方国恩^{1△}

(1 海军军医大学附属长海医院 普外科 上海 200433;2 上海中医药大学附属曙光医院 急诊创伤外科 上海 201203)

摘要 目的:探讨法尼酯 X 受体(FXR)特异性激动剂 GW4064 抑制结肠癌细胞浸润转移的机制。方法:在体外培养人结肠癌细胞 HT-29,应用 GW4064 作用于结肠癌细胞,以四唑氮蓝还原法(MTT)检测细胞活性的变化。用 transwell 小室研究结肠癌细胞的迁移及浸润。用 RT-PCR 检测 FXR mRNA 及 MMP-7 mRNA 表达的变化,用 western blot 检测 FXR 及 MMP-7 蛋白表达的变化。结果:MTT 结果显示 GW4064 作用于人结直肠 HT-29 细胞的生长抑制率呈浓度依赖性;transwell 小室结果显示 GW4064 抑制结肠癌细胞的浸润转移,与对照组相比,差异具有统计学意义($P<0.05$),RT-PCR 及 Western blot 显示 GW4064 促进 FXR mRNA 及蛋白表达,抑制 MMP-7 mRNA 及蛋白的表达,与对照组相比差异有统计学意义($P<0.05$)。结论:GW4064 抑制结肠癌细胞的生长及转移,上调 HT-29 细胞 FXR mRNA 及蛋白的表达,下调 HT-29 细胞 MMP-7 mRNA 及蛋白的表达。FXR 被激活后抑制结肠癌细胞转移,MMP-7 可能是其作用通路之一。

关键词:结肠癌;法尼酯 X 受体;肿瘤浸润转移;基质蛋白酶 -7

中图分类号:R-33;**文献标识码:**A **文章编号:**1673-6273(2018)24-4633-05

Activation of Farnesoid X Receptor Inhibited the Infiltration and Metastasis and MMP-7's Expression of Colon Cancer Cells*

ZHANG Chao-feng¹, LUO Tian-hang¹, NIU Hong-wen², DENG Lin², ZHU Tao², FANG Guo-en^{1△}

(1 Department of General Surgery, Chang hai Hospital, Navy Military University Medical, Shanghai, 200433, China;

2 Department of emergency and traumatic surgery, Shuguang Hospital, Shanghai University of Traditional Chinese Medicine, Shanghai, 201203, China)

ABSTRACT Objective: To investigate the mechanism of the farnesoid X receptor (FXR) activation by GW4064 to inhibit the growth of colon cancer cells. **Methods:** The effects of specific FXR agonist (GW4064) on the growth of HT-29 cells were studied in vitro by MTT. The infiltration and metastasis of HT-29 cells were detected by the transwell inserts. The mRNA expression of FXR and MMP-7 were determined by RT-PCR. The protein expression of FXR and MMP-7 were measured by Western blot. **Results:** MTT results showed that the growth inhibition rate of GW4064 in human colorectal HT-29 cells was concentration dependent; Transwell inserts results showed that GW4064 inhibited the invasion and metastasis of colon cancer cells. Compared with the control group, the difference was statistically significant ($P<0.05$). RT-PCR and Western blot display GW4064 promoted FXR mRNA and protein expression and inhibited the expression of MMP-7. The expression of mRNA and protein was significantly different from that of the control group ($P<0.05$). **Conclusion:** GW4064 inhibited metastasis of colon cancer cells. The expression of mRNA and protein of FXR was up-regulated by FXR specific agonist in cell line HT-29, and MMP-7 is just opposite. The activation of FXR may inhibit the metastasis of colon cancer cells by inhibiting MMP-7.

Key words: Colon carcinoma; Farnesoid X receptor; Neoplasm invasiveness and metastasis; Matrix metalloproteinase-7

Chinese Library Classification(CLC): R-33; R735.35; R730.5 **Document code:** A

Article ID: 1673-6273(2018)24-4633-05

前言

结肠癌是全球第三高发恶性肿瘤,其发病率和死亡率均有升高的趋势,有报道 20% 的患者在初诊时已发现有同时性肝转移^[1],行根治术后有 25%~40% 的患者发生异时性肝转移^[2]。然而结肠癌的转移机制目前尚不明确。流行病学统计发现高脂饮食可以增加结肠癌发病风险,目前越来越多研究认为肠道代谢与

微环境平衡是结肠肿瘤发病的关键因素,而高脂饮食可以增加肝脏分泌胆汁,从而增加结肠中胆汁酸的浓度,从而改变肠道微环境,近来有研究发现胆汁酸可以影响结肠癌发病风险^[3],胆汁酸可以促进脂肪、胆固醇及脂溶性维生素的吸收,肠道上皮细胞的增殖、代谢及基因表达的平衡是细胞转化的关键因素,当细胞代谢的平衡被破坏,则可能会引起炎症甚至肿瘤,而法尼酯 X 受体(FXR)是胆汁酸的核受体,通过调控一系列基因表

* 基金项目:国家自然科学基金项目(81671886)

作者简介:张超峰(1982-),博士研究生,主治医师,研究方向:胃肠肿瘤,电话:17717620481, E-mail: peakerzhang@163.com

△ 通讯作者:方国恩,主任医师,博士生导师,电话:13671650481, E-mail: fangguoen666@126.com

(收稿日期:2018-06-06 接受日期:2018-06-30)

达,可以反馈性调控细胞内胆汁酸浓度,参与调节胆汁酸的肠肝循环,在糖、胆汁酸、胆固醇等代谢过程中起重要作用^[4],近来研究发现 FXR 与结肠癌的关系密切,FXR 在结肠癌组织中表达的高低不仅与患者预后有关系,而且可以发现激活 FXR 可以抑制结肠癌细胞的生长^[5],而 FXR 与结肠细胞生长转移的相关机制尚不明确。因此我们设计一下实验进一步探讨 FXR 与结肠癌关系。

1 材料与方法

1.1 主要仪器

酶标仪购自 BIO RAD 公司; 稳压电泳仪购自美国 BIO RAD 公司; POWER PAC 200 型,1420 multilabel counter; PCR 仪器购自 ABI 公司, thermal cycler 2720 型; UV2000 紫外分析仪购自天能仪器有限公司。

1.2 主要试剂

人结肠癌细胞株 HT-29 由复旦大学肿瘤研究所赠给, DMEM、胎牛血清(FBS)和 PBS 购自美国 GIBCO 公司, transwell 小室购自 Corning 公司, 四唑氮蓝(MTT)购自 Sigma 公司, FXR 特异性激动剂 GW4064 购自 Tocris 公司, 逆转录 PCR 试剂盒购自 Famentus 公司, RNA 抽提 Trizoll 试剂购自 Invitrogen 公司, PCR 试剂盒购自 Takara 公司, 引物序列均由上海生工生物工程有限责任公司合成, 兔抗人 FXR 抗体(sc-13063)购自 Santa Crus 公司, 鼠抗人 GAPDH 购自 Santa Crus 公司, 即用型非生物素广谱二抗(加强型)购自上海长岛生物技术有限公司, 货号 D3004p。

1.3 方法

1.3.1 细胞培养 HT-29 结肠癌细胞系培养于 10%FBS DMEM 培养基中, 将培养瓶放入 37 °C、5% CO₂ 培养箱中培养。当细胞融合度为培养瓶的 80% 时, 用 0.05% 胰酶消化传代培养。

1.3.2 四唑氮蓝还原法 (MTT) 探索 GW4064 最佳作用浓度 将 GW4064 溶解于 DMSO 中, 制成不同浓度的 GW4064。将 HT-29 结肠细胞悬液按 7×10³ 个 / 孔接种于 96 孔板。用 10% FBS DMEM 培养基孵育 24 小时后, 培养基换成含 1% FBS DMEM 培养基 200 μL。GW4064 设 0 μmol/L, 0.1 μmol/L, 1 μmol/L, 3 μmol/L, 5 μmol/L, 7 μmol/L, 10 μmol/L 不同作用组, 各作用组重复 5 孔, 培养 72 小时后, 各孔分别加 20 μL 5 mg/mL MTT。继续孵育 4 小时, 弃培养基, 各孔内加入 150 μL 二甲亚砜, 用酶标仪检测 570 nm OD 值。以加样孔与对照孔的吸光度比值测定细胞活力, 即: 细胞活力 = 加样孔 OD 值 / 对照组 OD 值 × 100%, 并计算半数细胞抑制浓度(IC50)。

1.3.3 Transwell 小室检测对结肠癌细胞 HT-29 侵袭能力的影响 饥饿结肠癌细胞 24 h 后, 消化细胞制成细胞悬液, 取 2×10⁵ 个 HT-29 细胞, 放入 transwell 小室, 同时将不同浓度 0 μmol/L(对照组)、1 μmol/L, 5 μmol/L, 7 μmol/L 的 GW4064 加入不同的小室内, 每组均重复 3 次, 下室内加入含血清培养液, 培养 48 h 小时后, 计数穿透基膜的肿瘤细胞, 以相对细胞转移率测定 GW4064 对细胞侵袭能力的影响, 相对细胞转移率 = 作用组转移细胞数 / 对照组转移细胞数 × 100%。

1.3.4 逆转录聚合酶链反应(RT-PCR)研究 FXR、MMP-7 mRNA 的表达 将 HT-29 细胞悬液, 铺 6 孔板, 4×10⁵ 个 / 孔,

GW4064 设 0 μmol/L, 1 μmol/L, 5 μmol/L 作用组。在培养箱内孵育, GW4064 作用 24 小时后, 提取 RNA, 提取的 RNA 立即用于逆转录, 将 1 μL Oligo dT(0.5 μg/μL) 和 2.0 μg Total RNA 加入到 PCR 小管中, 逆转录合成 cDNA 链。再以 2 μg cDNA 作为模板, 分别加入引物, 各引物序列分别为 GAPDH: forward 5'-GCACCGTCAAGGCTGAGAAC-3' reverse 5'-TGGTGAAGA-CGCCAGTGGA-3', MMP-7: forward: 5'- GGAGATGC- TCACT TCGATGA -3' reverse 5'- ATACCCAAAGAATGGCCAAG -3', FXR: forward 5'-A ACAATCCAAGGAGGTAGAAGAC-3' reverse 5'-GAAGAAATCCAGGAAACTAAGAG-3', 反应条件为, 预变性 95 °C, 1 分钟; 之后每一步变性 95 °C, 30 秒; 退火 55 °C, 30 秒; 延伸 72 °C, 1 分钟; 共进行 40 个循环。各组取 5 μL PCR 产物与 DNA 上样缓冲液混匀后放入凝胶中电泳。电压 80 伏, 50 分钟后, 用紫外灯观察条带的位置, 用凝胶扫描仪进行拍照。电泳条带用 Bandscan 5.0 软件分析。实验结果分析: FXR 表达量 = FXR 灰度值 / GAPDH 灰度值 × 100%。MMP-7 表达量 = MMP-7 灰度值 / GAPDH 灰度值 × 100%。

1.3.5 用蛋白免疫印迹法(western blot)检测 FXR、MMP-7 蛋白的表达 将 HT-29 细胞悬液, 按 4×10⁵ 个 / 孔铺 6 孔板, GW4064 设 0 μmol/L, 1 μmol/L, 5 μmol/L 作用组。在培养箱内孵育 24 小时后, 消化细胞, 预先将 PMSF 10 μL 加入 1 mL 蛋白裂解缓冲液 RIPA 中, 取约 1×10⁷ 个细胞加入预先配制的 RIPA, 低温裂解 30 min, 然后在 4 °C 下 10000×g 离心 10 min, 取上清。用 Bradford 比色法测定蛋白质浓度, 根据标准曲线计算出蛋白浓度。灌制 SDS-PAGE 凝胶。取相同质量的细胞裂解液(体积 * 蛋白质浓度), 并加等体积的 2× 电泳加样缓冲液, 恒压 90 V, 约 40 min。电泳时溴酚蓝到达胶的底端处附近即停止电泳。然后将蛋白从凝胶转至 PVDF 膜, 40 V 电压转膜 30 min, 用 5% 的脱脂奶粉 / TBS-T 混合液在 4 °C 温度下封闭过夜 PVDF 膜, 5% 的脱脂奶粉 / TBS-T 按 1:600 稀释 FXR 抗体, 4 °C 孵育过夜。加入 Western 洗涤液, 在侧摆摇床上缓慢摇动洗涤 5-10 分钟, 洗 3 次, 然后加入 1:2000 稀释的二抗, 常温孵育 1 h 后, 同样洗涤 3 次, 再加入增强化学显影剂。应用 UVI 凝胶成像系统摄像, Image-Pro Plus5.0 软件分析条带灰度值, 用 FXR/GAPDH 代表 FXR 的相对表达量。MMP-7 的蛋白测定方法同 FXR 相同。

1.4 统计学处理

实验所有数据均重复三组, 以均数± 标准差(± s)表示, 以 SPSS13.0 统计软件进行分析处理, 作用组与对照组比较采用 t 检验, 均以 P<0.05 表示差异有统计学意义。

2 结果

2.1 MTT 检测结果

0 μmol/L, 0.1 μmol/L, 1 μmol/L, 3 μmol/L, 5 μmol/L, 7 μmol/L, 10 μmol/L GW4064 不同作用组细胞活力分别为: 101.8 ± 2.50, 96.6 ± 2.33, 76.4 ± 3.81, 61.7 ± 4.31, 47.7 ± 5.21, 5.3 ± 3.57, 2.6 ± 2.11。1 μmol/L, 5 μmol/L, 7 μmol/L, 10 μmol/L GW4064 各作用组的人结直肠 HT-29 细胞的生长抑制率与对照组(0 μmol/L)相比, 差异有统计学意义(P 值分别为 0.018, 0.000, 0.000, 0.000; P<0.05), GW4064 激活 FXR 后对

HT-29 细胞的生长产生抑制作用,同时呈现剂量依赖关系,即随着浓度增加,GW4064 对 HT-29 细胞的生长抑制作用逐渐增强。72 小时结肠癌细胞半数抑制浓度(IC_{50})为 $4.83 \mu\text{mol/L}$ 。当 GW4064 作用浓度超过 $5 \mu\text{mol/L}$ 时,细胞活力急剧下降,细胞毒性增加(图 1)。

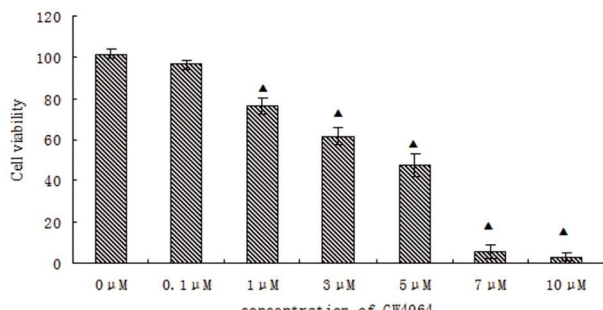


图 1 GW4064 对 HT-29 细胞的增殖抑制作用呈现剂量依赖关系
(▲P<0.05)

Fig.1 GW4064 inhibited proliferation of HT-29 cells in a dose-dependent manner(▲P<0.05)

2.2 transwell 小室检测结果

GW4064 可以抑制结肠癌细胞的侵袭转移,并呈浓度依赖关系。 $1, 5, 7 \mu\text{mol/L}$ GW4064 作用 HT-29 细胞 48 小时后,相对

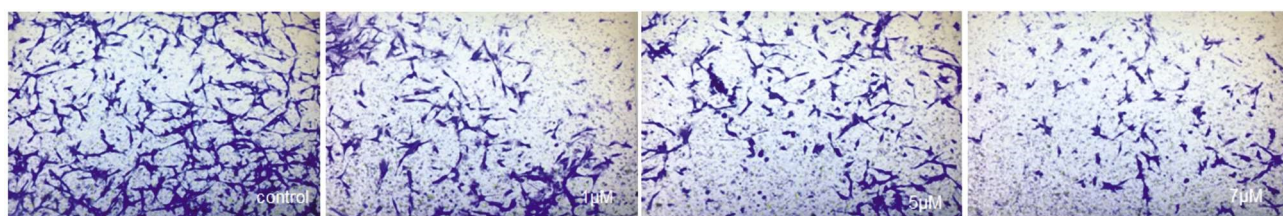


图 2 GW4064 对 HT-29 细胞的侵袭转移抑制作用呈现剂量依赖关系(SP× 100)
Fig.2 GW4064 inhibited the invasion and metastasis of HT-29 cells in a dose-dependent manner(SP× 100)

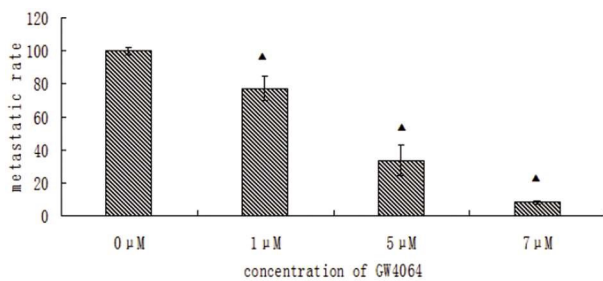


图 3 不同浓度结肠癌细胞转移率的变化趋势曲线。

与对照组相比 $1, 5, 7 \mu\text{mol/L}$ 作用组有差异,具有统计学意义(▲P<0.05)

Fig.3 The trend of metastatic rate of colon cancer cells at different concentrations. Compared with the control group, the $1, 5$ and $7 \mu\text{mol/L}$ treatment group had significant difference (▲P<0.05).

3 讨论

尽管目前治疗结肠癌的方法很多,但仍有大量患者死于结肠癌转移。即使行结肠癌根治术治疗,依然有 $25\% \sim 40\%$ 的患者发生异时性肝转移,因此,进一步阐明结肠癌的转移机制,是一个需要迫切解决的问题。

法尼酯 X 受体是胆汁酸的核受体,可以反馈调节细胞内

细胞转移率(%)分别为: $100 \pm 2.35, 77.5 \pm 7.33, 33.5 \pm 9.41, 8.3 \pm 1.14$ 。与对照组比, $1, 5, 7 \mu\text{mol/L}$ 作用组差异具有统计学意义(P 值分别为 $0.007, 0.000, 0.000; P < 0.05$)。(图 2, 图 3)。

2.3 RT-PCR 结果显示

$0, 1, 5 \mu\text{mol/L}$ 不同浓度的 GW4064 作用于 HT-29 细胞 24 h 后,FXR mRNA 表达量(%)分别为: $13.16 \pm 2.32, 21.31 \pm 2.44, 28.90 \pm 2.81$,表达剂量逐渐增加,呈现剂量依赖性关系,各作用组与对照组之间的差异具有统计学意义(P 值分别为 $0.037, 0.022, P < 0.05$),而 MMP-7mRNA 表达量(%)分别为: $74.33 \pm 5.98, 55.53 \pm 4.31, 9.16 \pm 2.15$,表达剂量逐渐降低,呈现剂量依赖性关系,各作用组与对照组之间的差异具有统计学意义(P 值分别为 $0.043, 0.014, P < 0.05$)。(图 4, 图 5)。

2.4 western-blot 结果显示

$0, 1, 5 \mu\text{mol/L}$ 不同浓度的 GW4064 作用于 HT-29 细胞孵育 24 h 后,FXR 蛋白表达量(%)分别为: $14.10 \pm 2.28, 44.32 \pm 6.37, 56.91 \pm 6.44$ 。表达逐渐增加,呈现剂量依赖性关系,各作用组与对照组之间的差异具有统计学意义($P < 0.05$),而 MMP-7 蛋白表达量(%)分别为: $78.13 \pm 5.75, 30.51 \pm 4.11, 8.36 \pm 3.58$ 。表达逐渐降低,呈现剂量依赖性关系,各作用组与对照组之间的差异具有统计学意义($P < 0.05$)。(图 6, 图 7)。

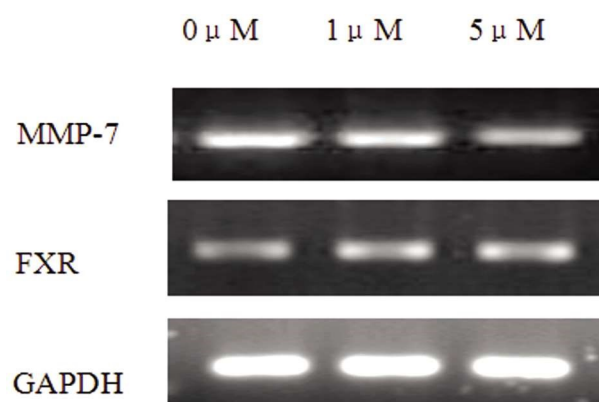


图 4 FXRmRNA 及 MMP-7mRNA 在不同作用组表达的变化

Fig.4 Changes of expression of FXRmRNA and MMP-7mRNA in different groups

胆汁酸水平,维持胆汁酸平衡,最初研究发现参与调节胆固醇、脂、糖的代谢以及胆汁酸的肠肝循环^[6]。近来研究发现激活 FXR 可调节多种炎症因子的表达,例如 COX-2、NF-κB、IL-6、iNOS 等^[5,7,8],而且 FXR 在肿瘤的生长及凋亡中也起重要作用,Swales KE 等研究认为,在乳腺癌细胞中,激活 FXR 可以诱导乳腺癌细胞的凋亡^[9],Liu 等研究发现,激活 FXR 后可以通过抑

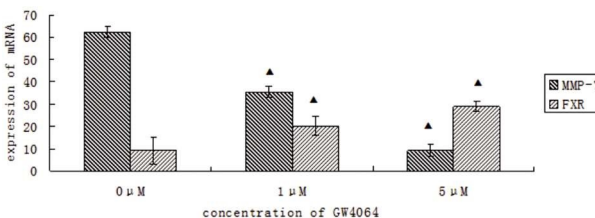


图 5 FXR mRNA 及 MMP-7 mRNA 在不同作用组中表达的变化曲线，三组间比较有差异，具有统计学意义($\blacktriangle P<0.05$)

Fig.5 The expression curves of FXR mRNA and MMP-7 mRNA were significantly different between the three groups ($\blacktriangle P<0.05$)

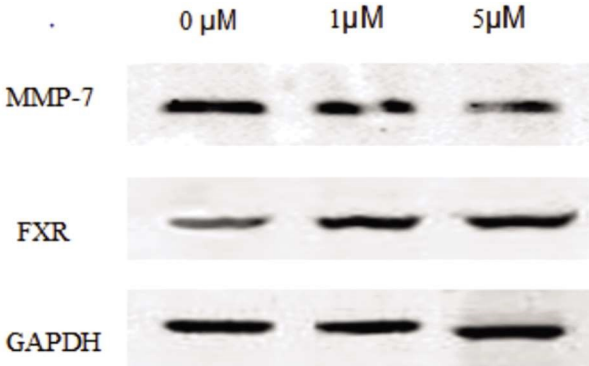


图 6 FXR 及 MMP-7 蛋白表达在不同作用组表达的变化

Fig.6 Expression of FXR and MMP-7 protein in different groups

制前列腺癌细胞的脂代谢，抑制肿瘤细胞的生长^[10]。因此 FXR 与肿瘤的生长密切相关。

近年来代谢及微环境与肿瘤的研究逐渐成为热点，而 FXR 与肠道的代谢及微环境均有关关系^[11]，因此 FXR 在结直肠癌中的作用也成为研究热点，在 FXR 基因敲除动物模型中，小鼠发生慢性结肠炎，小鼠模型的癌变率亦明显提高，而且激活 FXR 还可以降低慢性肠炎小鼠模型肠道上皮的增生及炎症^[8,12]。De Gottardi 等^[13]研究认为胆汁酸与结肠癌关系密切，并检测了与胆汁循环转移相关的因子的表达，结果发现，与正常结肠黏膜相比，结肠腺瘤与结肠癌患者中 FXR mRNA 的表达明显下降，分别为平均的 1/5 及 1/10，并且在低分化结肠癌细胞 SW480 及转移灶中提取的 SW680 细胞中检测，未发现 FXR 表达，而在分化较好的 Caco-2 及 HT-29 结肠癌细胞中，可以检测出 FXR 的表达，因此 FXR 表达的高低与结肠癌细胞的分型及分期有相关性。Lax S 等^[14]研究也进一步证实了这一观点，结肠癌的分期及预后与 FXR 的表达成反比关系。既往我们对比了人胆管癌及正常胆管组织中 FXR 表达，也得到相似的结果^[15]。Smith DL^[16]等对结肠腺瘤小鼠模型研究中发现，应用牛黄脱氧胆酸可以减少肠道腺瘤的形成，并且提高了 Shp、FGF15 及 IBABP 的表达，而这些蛋白表达都是由 FXR 调控的。综上所述，FXR 与结肠癌的预后关系密切，而且可以抑制结肠癌的生长。然而其与结肠癌转移的关系研究较少，尚无明确机制。

基质金属蛋白酶(matrix metalloproteinase, MMPs)是类多功能蛋白酶，不仅在伤口愈合、血管再生、胚胎发育等生理活动中发挥重要作用，而且在肿瘤生长及转移中起重要作用，MMP-7 是与肿瘤转移密切相关的蛋白酶，不仅可以促进细胞外基质的降解，而且可以促进癌细胞的转化及血管生成，

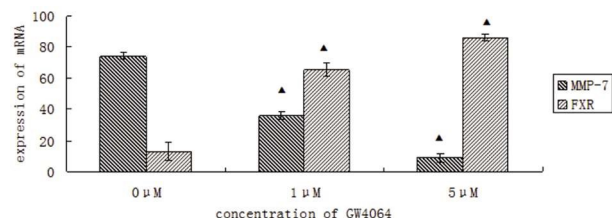


图 7 FXR 及 MMP-7 蛋白表达在不同作用组表达的变化，三组间比较有差异，具有统计学意义($\blacktriangle P<0.05$)

Fig.7 The expression of protein of FXR and MMP-7 was significantly different between the three groups ($\blacktriangle P<0.05$)

尤其在肿瘤浸润及转移中起重要的作用^[17]。它通过蛋白水解裂解细胞外基质，破坏阻碍肿瘤转移的组织学屏障，促进癌细胞的侵袭和转移^[18]，它与乳腺癌、胆囊癌、胃癌、肺癌、胰腺癌等肿瘤的转移复发都有密切关系^[19-24]。Qasim BJ 等通过研究结肠癌患者术后肿瘤组织及无瘤切缘 MMP-7 的表达，发现 MMP-7 表达阳性率，结肠癌(45.45%)明显高于正常组织(10%)^[25]。Sun DW 等总结了 2985 例的结肠癌患者肿瘤组织中 MMP-7 的表达的数据，发现高表达患者生存时间短和复发率高^[26]。Klupp F 等通过研究结肠癌患者血清中 MMP-7 的表达与预后的关系发现，MMP-7 表达高的患者，术后容易发生复发转移^[27]。因此我们同时检测 MMP-7 的表达变化来反应 FXR 对结肠癌细胞的生物学行为的影响。

我们的研究结果发现 GW4064 作用 HT-29 细胞后，结肠癌细胞转移减少，MMP-7 表达显著受到抑制，并呈现剂量依赖性。而 GW4064 是 FXR 的特异性激动剂，而且 GW4064 作用后 FXR 的表达增加，由此我们认为，GW4064 通过激活 FXR，可以抑制结肠癌细胞的转移，激活的 FXR 抑制 MMP-7 的表达可能是其作用机制之一。有研究证明 GW4064 通过激活 FXR 作用于结肠癌细胞，可以激活 FXR 与降低 EGFR 及 ERK 蛋白的磷酸化，从而抑制结肠癌细胞的生长^[28]，但其并没有研究 FXR 与结肠癌细胞转移的关系。流行病学显示高脂饮食可促进结肠癌发病增加，而前者可以刺激肝脏合成分泌胆盐增多，使结肠内胆汁酸浓度增加，肠道内胆汁酸平衡被破坏。而 FXR 可以平衡结肠细胞胆汁酸水平，激活 FXR 可以促进结肠对胆汁酸的重吸收，当结肠细胞胆汁酸水平增高后，后者抑制了结肠细胞 FXR 的表达^[29]。从而促进了结肠癌细胞的生长、浸润及转移^[30]。因此我们认为 FXR 可能成为治疗结肠癌转移的一个重要靶点。

本研究初步证明了激活 FXR 可以抑制结肠癌细胞的浸润转移，其机制之一可能是通过抑制 MMP-7 的表达，从而抑制结肠癌细胞的转移，提示我们对于结肠癌转移的患者，激活 FXR 可能也是治疗方法之一。

参考文献(References)

- [1] Siegel RL, Miller KD, Fedewa SA, et al. Colorectal cancer statistics, 2017[J]. CA Cancer J Clin, 2017, 67(3): 177-193
- [2] Rizopoulos D, Verhoef C, Steyerberg EW, et al. Hydroxylated collagen peptide in urine as biomarker for detecting colorectal liver metastases [J]. Am J Cancer Res, 2016, 6(2): 321-330
- [3] Ocvirk S, O'Keefe SJ. Influence of Bile Acids on Colorectal Cancer Risk: Potential Mechanisms Mediated by Diet - Gut Microbiota Inter-

- actions[J]. Curr Nutr Rep, 2017, 6(4): 315-322
- [4] Di Ciaula A, Wang DQ, Molina-Molina E, et al. Bile Acids and Cancer: Direct and Environmental-Dependent Effects. Ann Hepatol, 2017, 16(Suppl. 1:s3-105.): s87-s105
- [5] Koutsounas I, Giaginis C, Theocharis S. Farnesoid X receptor (FXR) from normal to malignant state [J]. Histol Histopathol, 2012, 27(7): 835-853
- [6] Cariello M, Piccinin E, Garcia-Irigoyen O, et al. Nuclear receptor FXR, bile acids and liver damage: Introducing the progressive familial intrahepatic cholestasis with FXR mutations [J]. Biochim Biophys Acta, 2018, 1864(4 Pt B): 1308-1318
- [7] Wang YD, Chen WD, Wang M, et al. Farnesoid X receptor antagonizes nuclear factor kappaB in hepatic inflammatory response [J]. Hepatology, 2008, 48: 1632-1643
- [8] Modica S, Murzilli S, Salvatore L, et al. Nuclear bile acid receptor FXR protects against intestinal tumorigenesis [J]. Cancer Res, 2008, 68: 9589-9594
- [9] Swales KE, Korbonits M, Walsh DT, et al. The farnesoid X receptor is expressed in breast cancer and regulates apoptosis and aromatase expression[J]. Cancer Res, 2006, 66: 10120-10126
- [10] Liu N, Zhao J, Wang J, et al. Farnesoid X receptor ligand CDCA suppresses human prostate cancer cells growth by inhibiting lipid metabolism via targeting sterol response element binding protein 1[J]. Am J Transl Res, 2016, 8(11): 5118-5124
- [11] Gadaleta RM, Cariello M, Sabbà C, et al. Tissue-specific actions of FXR in metabolism and cancer[J]. Biochim Biophys Acta, 2015, 1851(1): 30-39
- [12] Koutsounas I, Giaginis C, Theocharis S. Farnesoid X Receptor (FXR) from normal to malignant state [J]. Histol Histopathol, 2012, 27(7): 835-853
- [13] De Gottardi A, Touri F, Maurer CA, et al. The bile acid nuclear receptor FXR and the bile acid binding protein IBABP are differently expressed in colon cancer[J]. Dig Dis Sci, 2004, 49: 982-989
- [14] Lax S, Schauer G, Prein K, et al. Expression of the nuclear bile acid receptor/farnesoid X receptor is reduced in human colon carcinoma compared to nonneoplastic mucosa independent from site and may be associated with adverse prognosis [J]. Int J Cancer, 2012, 130(10): 2232-2239
- [15] 张超峰, 王坚. 法尼酯 X 受体在胆管癌中表达特点[J]. 外科理论与实践, 2009, 14: 171-173
Zhang Chao-feng, Wang Jian. Characteristics of farnesoid X receptor expression in cholangiocarcinoma [J]. Journal of Surgery Concepts & Practice, 2009, 14: 171-173
- [16] Smith DL, Keshavan P, Avissar U, et al. Sodium taurocholate inhibits intestinal adenoma formation in APCMin/+ mice, potentially through activation of the farnesoid X receptor[J]. Carcinogenesis, 2010, 31(6): 1100-1109
- [17] Banday MZ, Sameer AS, Mir AH, et al. Matrix metalloproteinase (MMP) -2, -7 and -9 promoter polymorphisms in colorectal cancer in ethnic Kashmiri population - A case-control study and a mini review [J]. Gene, 2016, 589(1): 81-89
- [18] Manders DB, Kishore HA, Gazdar AF, et al. Dysregulation of fibulin-5 and matrix metalloproteinases in epithelial ovarian cancer[J]. Oncotarget, 2018, 9(18): 14251-14267
- [19] Ren F, Tang R, Zhang X, et al. Overexpression of MMP Family Members Functions as Prognostic Biomarker for BreastCancer Patients: A Systematic Review and Meta-Analysis [J]. PLoS One, 2015, 10(8): e0135544
- [20] Zhu XM, Sun WF. Association between matrix metalloproteinases polymorphisms and ovarian cancer risk: A meta-analysis and systematic review[J]. PLoS One, 2017, 12(9): e0185456
- [21] Hu C, Wang J, Xu Y, et al. Current evidence on the relationship between five polymorphisms in the matrix metalloproteinases (MMP) gene and lung cancer risk: a meta-analysis [J]. Gene, 2013, 517(1): 65-71
- [22] Li X, Qu L, Zhong Y, et al. Association between promoters polymorphisms of matrix metalloproteinases and risk of digestive cancers: a meta-analysis[J]. J Cancer Res Clin Oncol, 2013, 139(9): 1433-1447
- [23] Le N, Sund M, Vinci A. Prognostic and predictive markers in pancreatic adenocarcinoma[J]. Dig Liver Dis, 2016, 48(3): 223-230
- [24] Chang WJ, Du Y, Zhao X, et al. Inflammation-related factors predicting prognosis of gastric cancer [J]. World J Gastroenterol, 2014, 20(16): 4586-4596
- [25] Qasim BJ, Ali HH, Hussein AG. Immunohistochemical expression of matrix metalloproteinase-7 in human colorectal adenomas using specified automated cellular image analysis system: a clinicopathological study[J]. Saudi J Gastroenterol, 2013, 19(1): 23-27
- [26] Sun DW, Zhang YY, Qi Y, et al. Prognostic significance of MMP-7 expression in colorectal cancer: a meta-analysis[J]. Cancer Epidemiol, 2015, 39(2): 135-142
- [27] Klupp F, Neumann L, Kahlert C, et al. Serum MMP7, MMP10 and MMP12 level as negative prognostic markers in colon cancer patients [J]. BMC Cancer, 2016, 16: 494
- [28] Peng Z, Raufman JP, Xie G. Src-mediated cross-talk between farnesoid X and epidermal growth factor receptors inhibits human intestinal cell proliferation and tumorigenesis[J]. PLoS One, 2012, e48461
- [29] Massafra V, van Mil SWC. Farnesoid X receptor: A "homeostat" for hepatic nutrient metabolism [J]. Biochim Biophys Acta, 2018, 1864(1): 45-59
- [30] Zimber A, Gespach C. Bile acids and derivatives, their nuclear receptors FXR, PXR and ligands: role in health and disease and their therapeutic potential [J]. Anticancer Agents Med Chem, 2008, 8 (5): 540-563